

不動建設(株)中央研究所 正員。小川充郎

1. まえがき

くいの振動貫入現象の解明は、従来、個々の定常振動貫入(Oscillatory motion)としての取扱いが多くなされている。これらは個々の条件における基礎的性状の解明のためのアプローチとして、極めて重要であるが実際の貫入過程との結び付けについては、必ずしも十分ではない。振動貫入の把握のおづかしさは、対象の土質により土の振動抵抗特性が大きく異なることおよび、その振動抵抗により振動くいの振動性状もまた大きく影響を受けることがある。实用上は貫入能率、貫入限界、抵抗支持力強度などを予測できることを望まれる。また、個々の振動性状の理解のためにも、性状に影響を及ぼすどの貫入過程にあるかを知ることが望ましく、貫入過程(translatory penetration)についての体系的考察が必要である。本報告では、主として振巾が比較的大きく、断面の大きい排除貫入ぐい(replacement pile)の低周波振動(10 cps前後)貫入における、地盤的抵抗と貫入速度出力エネルギーの特性を貫入全過程について概略考察する。

2. 低周波振動貫入の特徴と貫入力

図-1に、剛体くいの振動貫入のモデル図および、関連する振動諸元を示す。低周波振動貫入の特徴は、一般に $F_0/Q_0 > 1$ で、振巾が比較的大きく、したがって貫入時のくいの先端抵抗が支配的である場合が多い。先端に対する土の抵抗は、くい周面に対するフリクション低減などは振動の効果を受けないとされており、一般に抵抗が大きくなるほど弹性衝突振動が卓越し、土の弹性回復以上の振巾をもつてくい先端での土との離脱が見られるようになり、線型振動理論が適用できなくなる。

ここで、くいの地盤への貫入力 F_d は次式で表わすものとする。

$$F_d = (1 + p) F_0 \quad \text{--- (1)}$$

衝突変化による振巾の増大、非慣性附加載荷などの場合は $p \geq 0$ であり、フリクション、浮力影響を受けるとき $p \leq 0$ となる。 F_d のように記号の付いた量は、時間的正弦変化量のピーク値を示すものとする。

3. くいの振動貫入過程の解析

図-2は、 $Q_p \gg Q_f$ の場合の深さと(a)動的抵抗、起振力、貫入力の関係、(b)動的抵抗に対する貫入一時間関係、(c)沈下速度および(d)出力エネルギーの関係を示す。無次元深さ Z 、無次元抵抗比 p 、貫入速度係数 U 、出力エネルギー係数 φ も合わせて表示してある。

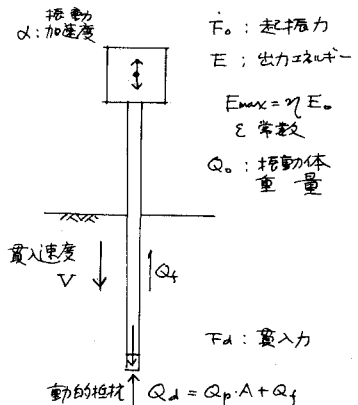
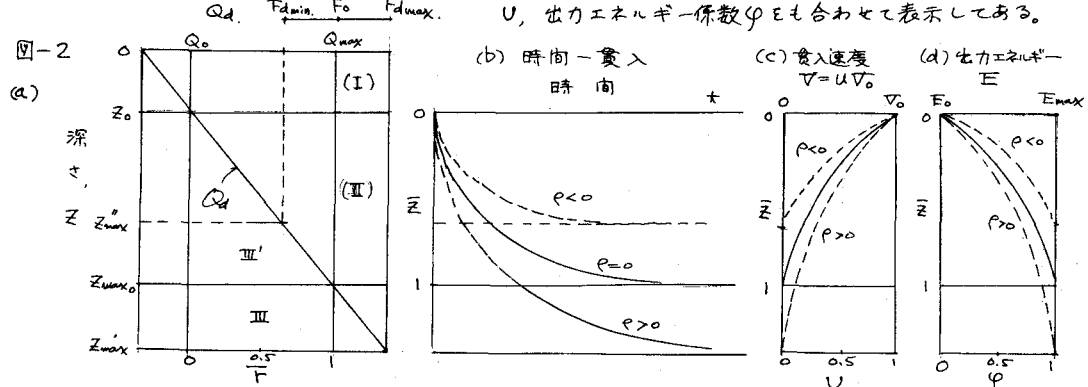


図-1

3.1 領域I ($Q_d < Q_0$) ; この領域ではくいの振動貫入は、粘性媒質中への初速度の重力落下問題として取扱える。静的には等速平衡し、動的には等速に收斂する。実用上は施工精度などのため、巻き下げを一定とする定常貫入速度となり、一種のヒスマ制御試験であるので動的抵抗と出力エネルギーは一般に比例する。

3.2 領域II ($Q_0 < Q_d < F$) ; この領域では、初期条件として等速なわち静的平衡抵抗 Q_0 もつ深さの変化を動的振動貫入するときの初期速度 V_0 、出力エネルギー E_0 の大きさが最も重要な意味を持つ。これらの値は、土質及び、くいの振動諸元（重量、偏心モーメント、角速度、くい断面積など）がきまとと、その振動くいの固有のものである。 $Z = Z_0 + \frac{\alpha t}{1 + \beta t}$ ----- (2) $Z = Z_0 + \alpha t = V_0$, $\beta = \frac{V_0}{Z_{max} - Z_0}$, Z_{max}

において、 $Q_d = F_d$ である。

無次元源と $\bar{Z} = \frac{Z - Z_0}{Z_{max} - Z_0}$, 無次元抵抗比 $\bar{F} = \frac{Q_d - Q_0}{F_d - Q_0}$, および $\bar{Z} = \bar{F}$ の関係を導入するととき、沈下速度 $V = U \nabla$ における貫入速度係数 $U = (1 - \bar{F})^2$ となり、出力エネルギー係数は $\varphi/(1-U)$ でほぼ近似できる。（詳細略）

貫入指標として $R = \frac{E}{V}$ (Z_0 において $R_0 = \frac{E_0}{V_0}$) すなわち、単位速度当たりの出力エネルギー（又は一定長さ貫入に要する總出力エネルギー量）をとるととき、 F と R の関係は、 $E = E_0 + \varepsilon(E_{max} - E_0)\varphi$, $V = U\nabla$ を用いて $\bar{F} = 1 - \sqrt{\frac{1 + \varepsilon(\eta-1)}{\frac{R}{R_0} + \varepsilon(\eta-1)}}$ ----- (3) $\frac{R}{R_0} \gg \varepsilon(\eta-1)$ のときは近似的に

$$\bar{F} \approx 1 - \sqrt{\frac{R_0}{R}} \quad \text{----- (4)}$$

あることは、

$$Q_d = Q_0 + (F_d - Q_0)(1 - \sqrt{\frac{R_0}{R}}) \quad \text{----- (5)}$$

で表わせる。この Q_d は 静的なコーン指数 q_c ($V = 1 \text{ cm/sec}$) などとある相関を有するヒが実験的に求められてる。

3.3 領域III ($Q_d > F$) ; 起振力より動的抵抗が大きい場合でも、土の弹性反発が大きくなり作用して $\varphi > 0$ となり、実質上 $F_d > Q_d$ となって Z_{max} は増大する。ただし、ほぼ完全なインバウト領域となり、位相が不安定となる場合もあり、いわゆる振動ラッピング現象を利用することになるので、貫入能率は極めて悪くなり、打止まり領域とみなせる。なお、領域IIにおいてもIIIの特性は徐々に含まれてくること、また $\varphi < 0$ となるときは、領域III'にとどまり、 Z_{max} は矮くなることが知れる。

4. 簡単な貫入記録解剖例

海中堆積粘土層への貫入例について

図-3に示す。

5 おまけ

以上、くいの振動貫入過程について基本的な考え方を述べたが、フリクションの影響、非慣性荷重の影響、動的抵抗と土質強度、振動サウンディングや盤固めに応用する場合の意味など具体的なデータにより更に追求したい。

参考文献

- 1) 小川・謝他 (1972) : 21回土壤工学研究発表会講演概要集, pp 721-724.
- 2) 小川・謝 (1973) : 21回土壤工学研究発表会講演概要集 第3部, pp 341-344.
- 3) 小川・謝・田山 (1974) : 21回土壤工学研究発表会概要集, pp 913-916

